

# Construction Métallique 07c- Longueurs de flambement



**ISA BTP**  
ÉCOLE D'INGÉNIEURS

## • Introduction

- La théorie du flambement a permis de définir la charge critique de flambement  $N_k$  et la longueur de flambement associée  $l_k$

- Poteau bi-articulé 
$$N_k = \frac{\pi^2 E I}{l_k^2}$$
- $l_k$  : Longueur de flambement

## • Longueur de flambement :

- Longueur du poteau bi-articulé qui aurait même charge critique que le poteau considéré

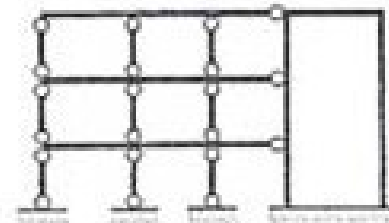
- La charge critique et la longueur de flambement varient en fonction des liaisons extérieures du poteau

## • Longueur de flambement :

- Longueur de flambement d'un poteau "isolé" pour différentes conditions d'appuis



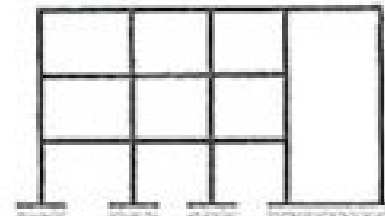
(a) poteau isolé individuel



(b) poteaux articulés dans une structure à nœuds fixes



(c) élément de contreventement élancé, considéré comme un poteau isolé

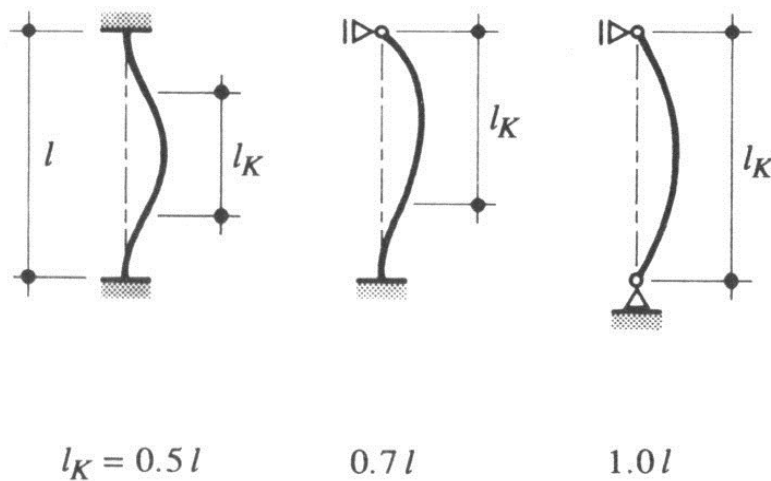


(d) poteaux à extrémités encastées dans une structure à nœuds fixes

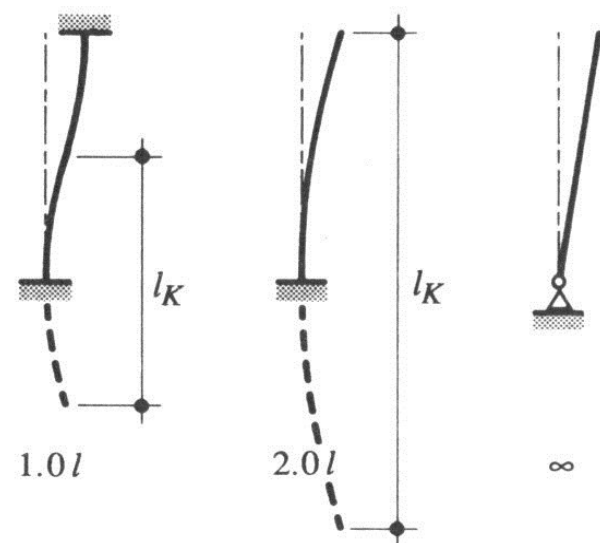
# Longueur de flambement :

- $l_k = m$
- $l_0$

Barre tenue transversalement



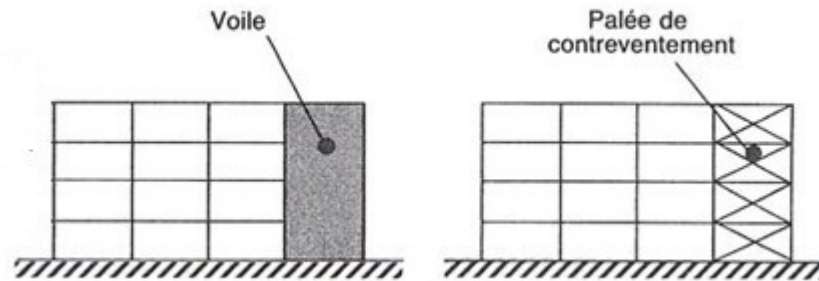
Barre non tenue transversalement



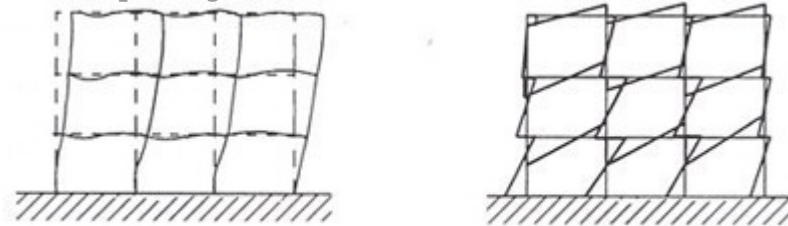
Longueurs de flambage  $l_K$  d'une barre comprimée pour différentes conditions d'appui.

- **Longueur de flambement :**

- Poteau non isolé au sein d'une structure contreventée

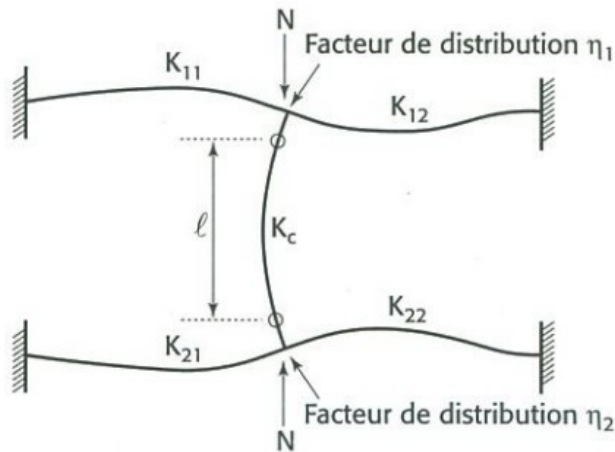


**Portique à noeuds non déplaçables**



**Portique à noeuds déplaçables**

- Poteau non isolé au sein d'une structure contreventée**
  - Facteur de distribution**



(a) Mode de financement à nœuds fixes

$$\eta_1 = \frac{K_c + K_{11}}{K_c + K_{11} + K_{12} + K_{21} + K_{22}}$$

$$\eta_2 = \frac{K_c + K_{22}}{K_c + K_{22} + K_{21} + K_{11} + K_{12}}$$

$$K_c = \frac{I_z}{l}$$

: rigidité du poteau

$$K_{ij}$$

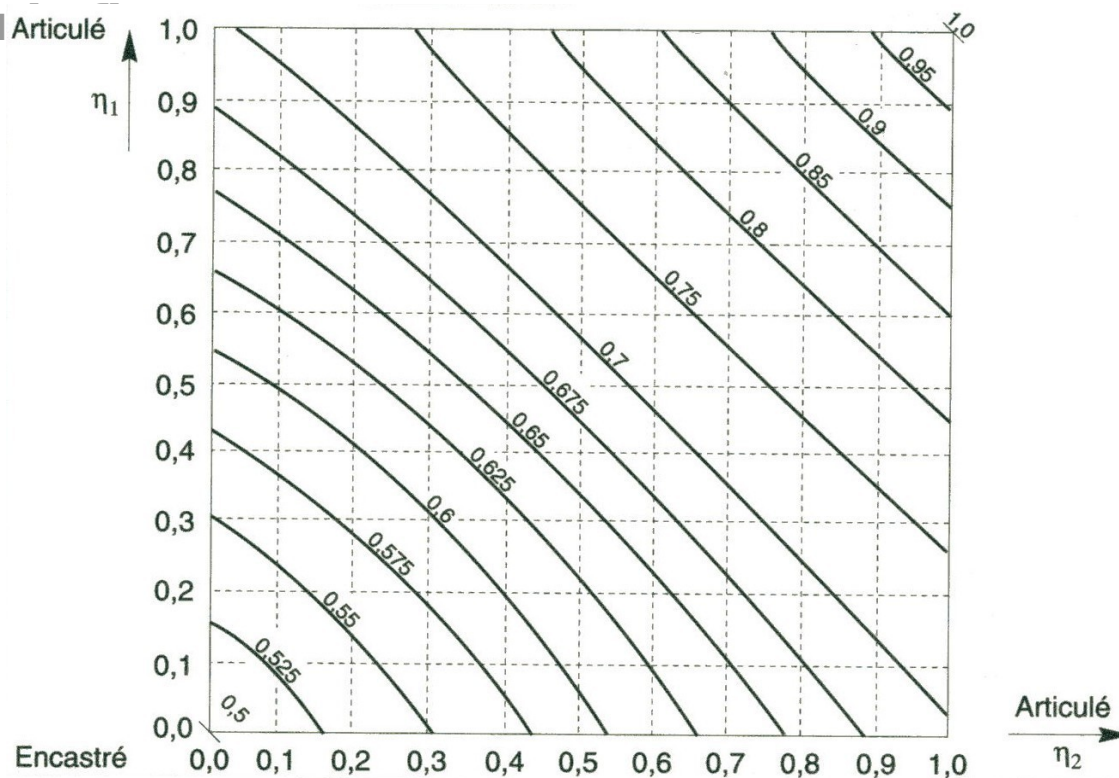
: rigidité effective des barres associées

Condition de maintien en rotation à l'extrémité opposée de la poutre	Rigidité effective K de la poutre (à condition que la poutre reste élastique)
Encastrée	$1,0 \cdot \frac{I}{\ell_0}$
Articulée	$0,75 \cdot \frac{I}{\ell_0}$
Rotation égale à celle de l'extrémité adjacente (double courbure)	$1,5 \cdot \frac{I}{\ell_0}$
Rotation égale et opposée à celle de l'extrémité adjacente (simple courbure)	$0,5 \cdot \frac{I}{\ell_0}$
Cas général ; rotation $\Theta_a$ à l'extrémité adjacente et $\Theta_b$ à l'extrémité opposée	$\left(1 + 0,5 \cdot \frac{\Theta_b}{\Theta_a}\right) \cdot \frac{I}{\ell_0}$

- Poteau non isolé au sein d'une structure contreventée

Facteurs de distribution -

noeu

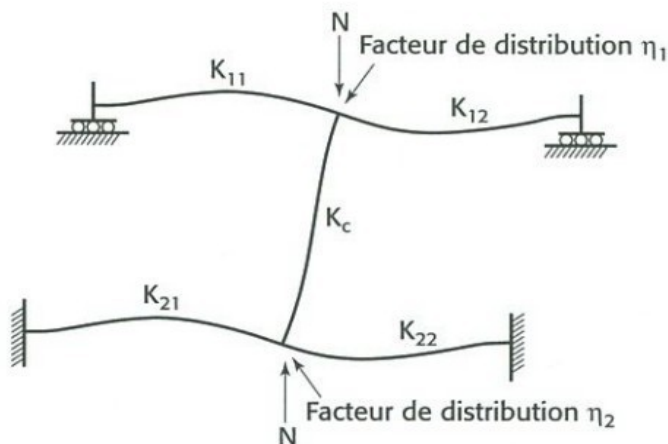


Ou :

$$\frac{\ell_k}{\ell_0} = \left[ \frac{1 + 0,145 \cdot (\eta_1 + \eta_2)}{1 - 0,364 \cdot \eta_1 + \eta_2} \right]_1$$

# • Poteau non isolé au sein d'une structure contreventée

## ▪ Facteur de distribution - noeuds



$$K_c = \frac{I_z}{I}$$

: rigidité du poteau

$$K_{ij}$$

! rigidité effective des barres associées

(b) Mode de financement à noeuds déplaçables

$$\eta_1 = \frac{K_c + K_{11} + K_{12}}{K_c + K_{11} + K_{12} + K_{21} + K_{22}}$$

$$\eta_2 = \frac{K_c + K_{21} + K_{22}}{K_c + K_{21} + K_{22} + K_{11} + K_{12}}$$

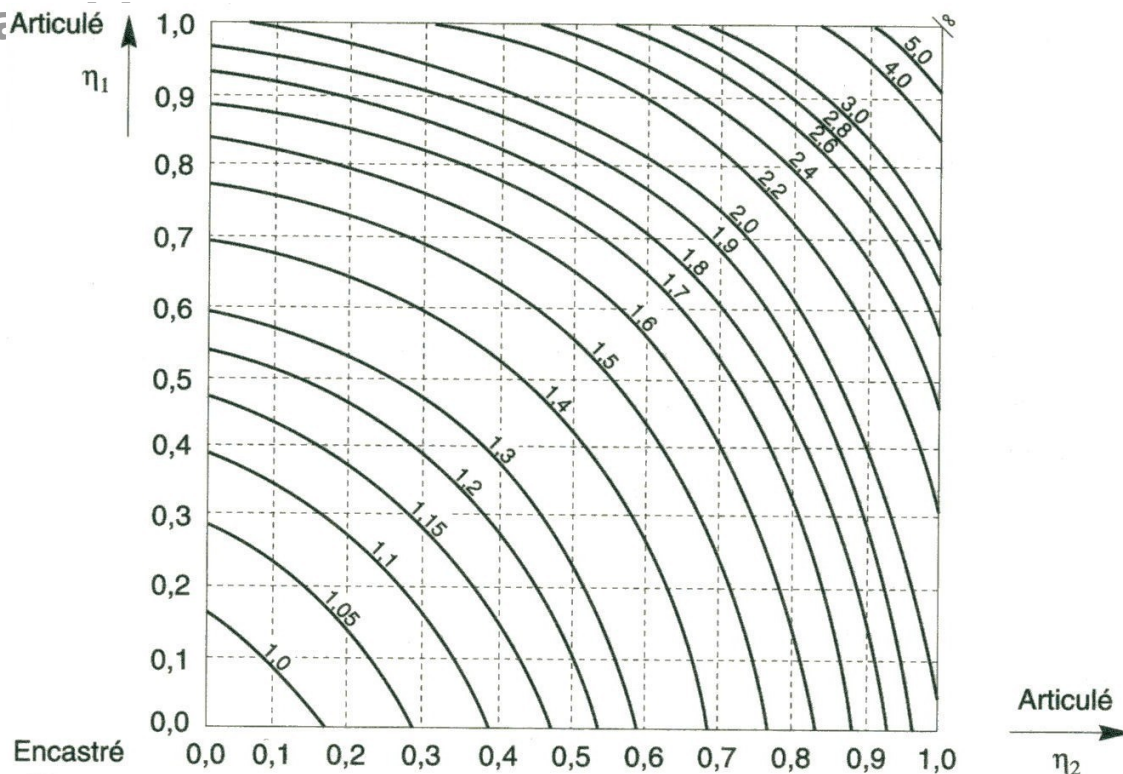
Condition de maintien en rotation à l'extrémité opposée de la poutre	Rigidité effective K de la poutre (à condition que la poutre reste élastique)
Encastrée	$1,0 \cdot \frac{I}{\ell_0}$
Articulée	$0,75 \cdot \frac{I}{\ell_0}$
Rotation égale à celle de l'extrémité adjacente (double courbure)	$1,5 \cdot \frac{I}{\ell_0}$
Rotation égale et opposée à celle de l'extrémité adjacente (simple courbure)	$0,5 \cdot \frac{I}{\ell_0}$
Cas général ; rotation $\Theta_a$ à l'extrémité adjacente et $\Theta_b$ à l'extrémité opposée	$\left(1 + 0,5 \cdot \frac{\Theta_b}{\Theta_a}\right) \cdot \frac{I}{\ell_0}$



# • Poteau non isolé au sein d'une structure contreventée

## ▪ Facteurs de distribution - noeuds

dépl.



Ou :

$$\frac{\ell_k}{\ell_0} = \sqrt{\frac{1 + 0.2(\eta_1 + \eta_2) + 0.001\eta_1\eta_2}{1 + 0.6\eta_1 + 0.6\eta_2}}$$

## • Elancemen

t  $\lambda$  :

- Contrainte normale critique :

$$\sigma_k = \frac{\pi^2 \cdot E I_k}{l^2 A} \quad \lambda = \frac{l}{i} \quad \sigma_k = \frac{\pi^2 \cdot E}{\lambda^2} \quad i = \sqrt{\frac{I_k}{A}}$$

- Elancement :  $\lambda = \frac{l}{i}$
- Rayon de giration :  $i = \sqrt{\frac{I_z}{A}}$

$$i_z = \sqrt{\frac{I_z}{A}}$$

- “plus  $I$  est grand, plus la longueur de la poutre est grande vis à vis des dimensions de sa section droite”

- **Plans de**

- **flambement:**

- L'élançement d'une pièce dépend du plan dans lequel le flambement peut se produire.
- La section droite possédant deux axes d'inertie, il conviendra de calculer deux élançements et deux longueurs de flambement (conditions de liaisons non nécessairement équivalentes dans les deux plans).
  - $\lambda_y$  (et  $I_{ky}$ ) suivant l'axe fort
  - d'inertie  $\lambda_z$  (et  $I_{kz}$ ) suivant l'axe faible d'inertie
- => L'axe critique de flambement sera celui pour lequel l'élançement présentera la plus grande valeur.

## CONTACT

**Philippe MARON**

ISABTP - UPPA

philippe.maron @univ-  
pau.fr



**ISA BTP**  
ÉCOLE D'INGÉNIEURS

